

山梨大学工学部 正員 萩原 能男  
 ○ 山梨大学工学部 学生員 大泉 英俊  
 日立サービスエンジニアリング(株) 中村 豊

## 1. はじめに

近年、輸送手段の1つとして注目を浴びて来たものに固液混合流体のパイプ輸送がある。これは、材料の継続的供給などの利点があり、作業能率、経済面でも液体輸送としては効果的手段である。土木工学の分野でもコンクリートのポンプ圧送などにみられるように、パイプ輸送が行なわれている。しかし、数々の問題があり、ビンガム流体の管内流動に関する研究が必要とされている。

本研究では、水平管を用いて流量とその損失水頭を測定し、ビンガム流体の抵抗則に基づく理論式より物性値を求め、また固液混合比によっての物性値の変化、管内流動などを検討した。

## 2. 実験装置と方法

実験装置は、長さ2.00m、内径15mmのアクリライト製のパイプを用い、水ヒベントナイトを混合して試験液体を作成した。実験方法は、水-ペントナイト比(水ヒベントナイトの重量比%) 9, 11, 13, 15の4種について各々流量を15回変えて、それぞれに対して摩擦損失水頭を測定した。また、同じ水-ペントナイト比で混合後、3日後、5日後の2種類について測定した。

## 3. ビンガム流体理論

ビンガム流体とは、せん断力( $\tau$ )とひずみ速度( $\dot{\gamma}$ )で表わした時、

$$\tau = \eta_m \frac{d\dot{\gamma}}{d\tau} + \tau_f \quad (1)$$

( $\eta_m$ : 塑性粘度,  $\tau_f$ : 降伏応力)

となる。また、円管内を流動するビンガム流体では、流量は、

$$Q = \frac{\pi \rho g I \alpha^4}{8 \eta_m} F(\frac{I}{\alpha}) \quad (2)$$

$$F(\frac{I}{\alpha}) = 1 - \frac{1}{3}(\frac{I}{\alpha}) + \frac{1}{3}(\frac{I}{\alpha})^4$$

( $\alpha$ : 管の半径,  $I$ : 檜流半径)

と表わされる。式(1), (2)をもとにして管内流動を検討した。また、物性値(塑性粘度と降伏値)は、実測値より最小自乗法により求めた。

## 4. 実験結果及び考察

### (1) 塑性粘度と降伏値

水-ペントナイト比( $\%V$ )と塑性粘度との関係は、図2に示すように $\%V=11$ ではほとんど変化しないが、 $\%V=9$ に至って急激に大きくなる。これに対し降伏値は、 $\%V$ の減少とともにほとんど同じ割合で大きくなっている。また、混合後3日後と5日後を比較してみると $\%V=13$ と $\%V=11$ とで塑性粘度と降伏値の動きに違いがある。 $\%V=11$ では、塑性粘度、降伏値とも5日後が大きくなっているが、 $\%V=13$ では、塑性粘度は5日後、降伏値は3日後が大きくなっている。

### (2) 損失水頭( $h_L$ )と平均流速( $U_m$ )

図3に示すように、水-ペントナイト比( $\%V$ )15までのぞいて、流速が増加するとニュートン流体としての理論線に近づいてくる。また、

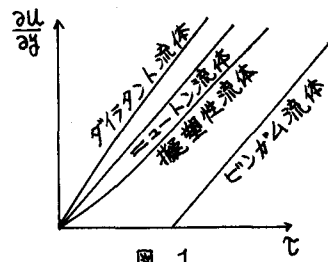


図 1

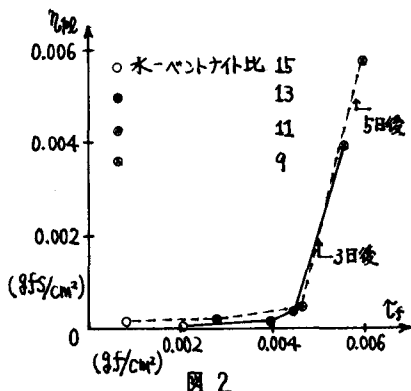


図 2

記号表			
$l$	壁からの距離	$\alpha$	3.14
$\rho$	密度	$g$	重力加速度
$I$	マノメータ間長	$d$	管内径, $d=20$
$U$	摩擦速度	$V$	動粘性係数
$\tau_f$	壁面での切歎力	$\eta$	エネルギー勾配

表 1

流速が増加すると理論線の下側に実測値がある。これは、ビンガム液体の場合、

$$Re = \frac{8 \cdot U_m}{\rho g d^2 F(\frac{U_m}{d})} \cdot l \cdot U_m \quad (3)$$

の関係があり、 $0 \leq F(\frac{U_m}{d}) \leq 1$ である。これより理論線より下側にあることはないが、実測値が下側にあるのは、物性値が多少変化しているためであると考えられる。

### (3) 摾抗係数とレイノルズ数

$\eta/V = 13$ を用いて、ニュートン流体と考えた時のムーディ図表が、図4である。図5は、ビンガム液体と考えた時のムーディ図表である。図4より、レイノルズ数Reの大きい所では、理論線にはば一致しているが、Reが小さくなるほど理論線より離れてくる。

ビンガム液体の流れにおける慣性力と撾抗力の比として定義した拡張されたレイノルズ数Reyは、

$$Rey = \frac{U_m \cdot d}{\eta_{\text{B}}/P + \eta_{\text{B}} \cdot d^2 \cdot g / P \cdot U_m} \quad (4)$$

で表わされ、一般にRey(無次元係数)が未定のためReyを求めることができない。本研究では、Darcy-Weisbachの式

$$Rey = f \frac{l}{d} \frac{U_m^2}{2g} \quad (5)$$

において、層流の場合に

$$f = \frac{64}{Rey} \quad (6)$$

となることを考慮して、式(3)より

$$Rey = \frac{U_m \cdot d}{\eta_{\text{B}}/P} F\left(\frac{U_m}{d}\right) = Re F\left(\frac{U_m}{d}\right) \quad (7)$$

を導びいた。これを用いてムーディ図表を作成したものが、図5である。図4と比較するとReyが小さくても理論線に近づいている。他の $\eta/V$ でも同様の結果になり、拡張されたレイノルズ数Reyを用いる方が良い。

### (4) $U/U^*$ と $U^*/V$

層流時のニュートン流体とビンガム液体の無次元量 $U/U^*$ と $U^*/V$ を比較したのが、図6である。ニュートン流体では、

$$\frac{U}{U^*} = \frac{U^* V}{V} \quad (8)$$

であるが、ビンガム液体では、式(1)を用いて

$$\frac{U}{U^*} = \frac{U^* V}{\eta_{\text{B}}/P} \left(1 - \frac{U}{U^*}\right) \quad (9)$$

となり、ニュートン流体の場合は $f=0$ であるが、ビンガム液体の場合には $f \neq 0$ であるからニュートン流体より $\frac{U}{U^*}$ が小さき値となる。図6は、この特徴をよく表わしている。また、栓端の部分もよくわかる。

### 4. 結論

- 1) ビンガム液体の実験として水平管を用いると、塑性粘度、降伏値を同時に求めることができ、精度も高まる。
- 2) これまで拡張されたレイノルズ数は、未定係数の為求めることができなかったが、栓端半径を知ることで求めることができる。その結果、ムーディ図表を用いることが可能になった。
- 3) 層流時のビンガム液体の流速分布は、降伏値があるためにニュートン流体のそれとは異なり、流速は小さくなり、図6に示すように栓端を供う。

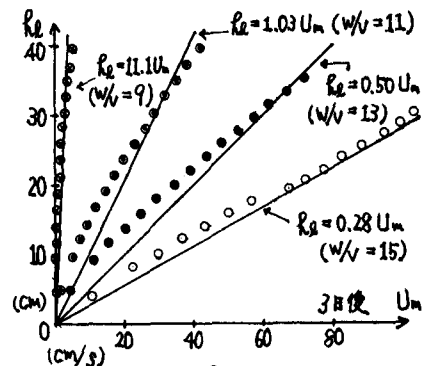


図3

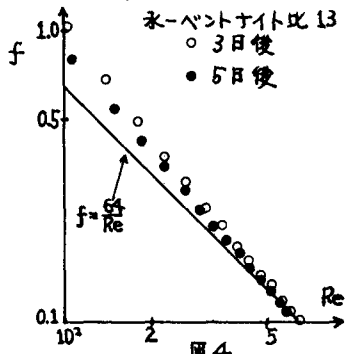


図4

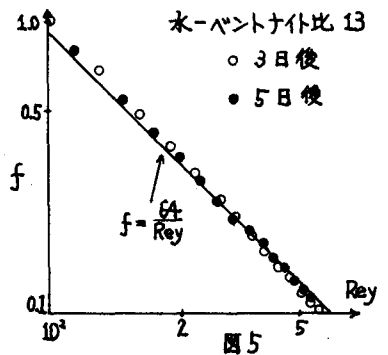


図5

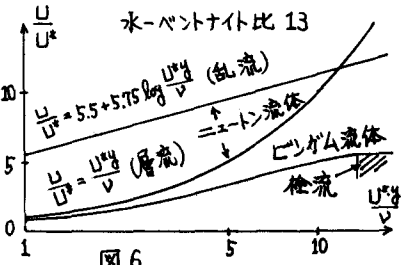


図6